

Até agora → Eletrostática com cargas em posições fixas

- ↳ pontiformes
- ↳ distribuições contínuas

↳ Sem condições de contorno interessantes (Apenas $V(\vec{r}) \rightarrow 0$ para $r \rightarrow \infty$)

Agora estudaremos casos com outras condições de contorno

→ Condutores (= metais)

• Podem ser neutros ou carregados, mas a carga sempre se distribui de modo a "zerar" o campo elétrico no interior do condutor. Os casos que serão estudados terão apenas a fase com as cargas já bem distribuídas analisada.

$\vec{E} = 0$ TROCA DE NOTAÇÃO → $\Phi = \text{constante}$

↓
 $V \rightarrow \Phi$
 $\Delta \Phi \rightarrow V$ ou seja, V agora será usado apenas para a diferença de potencial

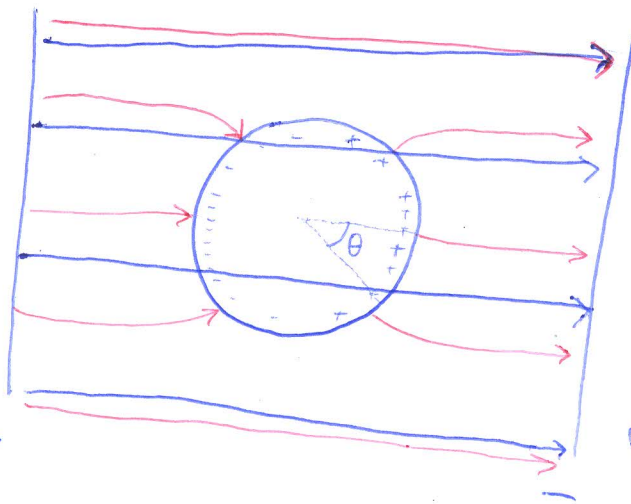
$\vec{\nabla} \cdot \vec{E} = 4\pi\rho \rightarrow \rho = 0$ (sem cargas no interior)

$\vec{E} = -\vec{\nabla}\Phi$ é perpendicular à superfície do condutor, no lado externo → $\vec{E} = 4\pi\sigma\hat{n}$

- Agora há condições de contorno nas superfícies dos condutores.
- A Função de Green precisa ser complementada.

Exemplos de casos a serem estudados:

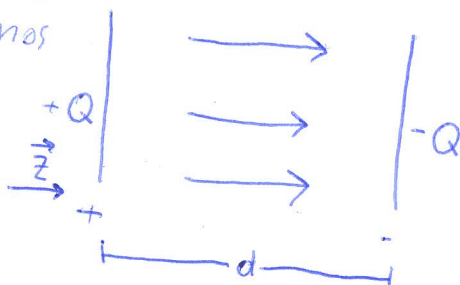
1) Esfera Condutora



planos extensos (sem efeito de borda)
 ↑ linhas do campo antes da inserção da esfera
 ↑ linhas do campo depois da inserção da esfera (ortogonais à superfície da esfera)
 σ em função de θ

2) Gaiola de Faraday

3) Capacitores planos



$\vec{E}_{\text{interno}} = 4\pi\sigma\hat{z}$
 $\sigma = \frac{Q}{A}$
 $C \equiv \frac{Q}{V} = \frac{Q}{\Delta\Phi}$

$\vec{E} = -\frac{d\Phi}{dz} = \text{constante} \rightarrow \Phi = -Ez + \text{constante}$

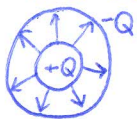
$V = \Phi(0) - \Phi(d) = Ed = \frac{4\pi Qd}{A} \rightarrow C = \frac{QA}{4\pi Qd} = \frac{A}{4\pi d}$

Energia armazenada

$U = \frac{1}{8\pi} \int d^3r \vec{E}^2 = \frac{A}{8\pi} \int_0^d dz (4\pi\sigma)^2 = Adz2\pi\sigma^2 = \frac{Q^2}{2C}$

$Q = \sigma A$
 $C = A/4\pi d$

4) Capacitores Esféricos



$$C = \frac{R_1 R_2}{R_2 - R_1}$$

Existem casos em que podemos manter V constante ao invés de q constante na superfície de um condutor.

↳ deixando em contato com alguma espécie de "reservatório de V ", fazendo analogia com o banho térmico.

Exemplo: Aterrar o condutor 

Assim, para cada corpo condutor em um problema, podemos estabelecer um valor de Q ou um valor de V .

Especificar ambos os valores pode levar a um problema superdeterminado que poderá não ter solução.

C_i $\begin{cases} \rightarrow Q_i \rightarrow \vec{\nabla}\phi \cdot \vec{n} \text{ (Condição de Contorno de Neumann)} \\ \text{ou} \\ \rightarrow V_i = \text{potencial em } S_i \text{ (Condição de Contorno de Dirichlet)} \end{cases}$

$\nabla^2\phi = 0$ com condições de contorno nas superfícies $S_i = \partial C_i$

→ Teorema de Unicidade: Neumann e Dirichlet aplicados garantem solução única. Ou seja, aplicando uma dessas condições para cada condutor, temos apenas uma solução para $\nabla^2\phi = 0$.

Demonstração: Supondo ϕ_1 e ϕ_2 soluções com mesmas condições de contorno, definimos $f = \phi_1 - \phi_2$

nas aulas anteriores, era igual a zero porque a única borda analisada era o infinito

$$\int_V d^3r \vec{\nabla} \cdot (f \vec{\nabla} f) \stackrel{?}{=} \int_V d^3r (\vec{\nabla} \cdot f \vec{\nabla} f + f \vec{\nabla}^2 f) \rightarrow \nabla^2 f = \nabla^2(\phi_1 - \phi_2) = \nabla^2\phi_1 - \nabla^2\phi_2 = 0 - 0 = 0$$

$$\partial V = \cup_i S_i \cup S_\infty$$

$$\int_V d^3r \vec{\nabla} \cdot (f \vec{\nabla} f) = \sum_i \int_{S_i} f \vec{\nabla} f \cdot d\vec{s} = \int_V d^3r |\vec{\nabla} f|^2$$

= 0 pelas condições de contorno:

Só é zero se $|\vec{\nabla} f| = 0$

$$\rightarrow \vec{\nabla}(\phi_1 - \phi_2) = 0$$

- Dirichlet: $\phi_1 - \phi_2 = 0$

- Neumann: $\vec{\nabla}(\phi_1 - \phi_2) = 0$

↳ pode gerar ϕ_1 e ϕ_2 que diferem por uma constante, mas isso não representa soluções físicas diferentes

Portanto, os critérios usados para resolver um problema retornam uma única solução.

→ Determinando como fica $G(r, r')$ no caso com condutores

Teorema de Green (Corolário da Lei de Gauss)

$$\int_V \vec{\nabla} \cdot \vec{A} d^3x = \oint \vec{A} \cdot d\vec{s} \rightarrow \vec{n} ds$$

Adotando $\vec{A} = \psi \vec{\nabla} \psi \rightarrow$ campos escalares arbitrários

$$\nabla \cdot (\psi \vec{\nabla} \psi) = \psi \nabla^2 \psi + \vec{\nabla} \psi \cdot \vec{\nabla} \psi$$

$$\text{I} \int_V (\psi \nabla^2 \psi + \vec{\nabla} \psi \cdot \vec{\nabla} \psi) d^3x = \oint (\psi \frac{\partial \psi}{\partial n}) ds \quad \psi \vec{\nabla} \psi \cdot \vec{n} = \psi \frac{\partial \psi}{\partial n} \text{ (notar ausência do "sinal de vetor" em } ds)$$

$$\text{II} \int_V (\psi \nabla^2 \psi + \vec{\nabla} \psi \cdot \vec{\nabla} \psi) d^3x = \oint (\psi \frac{\partial \psi}{\partial n}) ds \quad (\psi \leftrightarrow \psi)$$

$$\text{I} - \text{II} \int_V (\psi \nabla^2 \psi - \psi \nabla^2 \psi) d^3x = \oint (\psi \frac{\partial \psi}{\partial n} - \psi \frac{\partial \psi}{\partial n}) ds \quad \text{TEOREMA DE GREEN}$$

Definindo $\psi \equiv \phi$ e $\Psi = \frac{1}{|\vec{r} - \vec{r}'|}$

$$\nabla^2 \phi = -4\pi\rho \quad \nabla^2 \Psi = -4\pi\delta^3(\vec{r} - \vec{r}')$$

$$\text{Temos } \int_V (-4\pi\phi(\vec{r}')\delta^3(\vec{r} - \vec{r}') + \frac{4\pi}{|\vec{r} - \vec{r}'|}\rho(\vec{r}'))d^3x' = \int_S \left(\phi \frac{\partial}{\partial n'} \left(\frac{1}{|\vec{r} - \vec{r}'|} \right) - \frac{1}{|\vec{r} - \vec{r}'|} \frac{\partial \phi}{\partial n'} \right) ds'$$

$$\phi(\vec{r}) = \int_V \frac{\rho(\vec{r}')d^3x'}{|\vec{r} - \vec{r}'|} + \frac{1}{4\pi} \int_S \left(\frac{1}{|\vec{r} - \vec{r}'|} \frac{\partial \phi}{\partial n'} - \phi \frac{\partial}{\partial n'} \left(\frac{1}{|\vec{r} - \vec{r}'|} \right) \right) ds'$$

Condições

$$\textcircled{1} S \rightarrow S_\infty : \frac{1}{4\pi} \int_S (\dots) ds' \rightarrow 0$$

$$\textcircled{2} \frac{1}{4\pi} \int_S (\dots) ds' \text{ contém } \phi|_S \text{ e } \frac{\partial \phi}{\partial n}|_S$$

Dirichlet Neumann

Queremos escrever $G(\vec{r}, \vec{r}') = \frac{1}{|\vec{r} - \vec{r}'|} + f(\vec{r}, \vec{r}')$, com $\nabla^2 f(\vec{r}, \vec{r}') = 0$ em V

Agora G tem um termo com \vec{r} e \vec{r}' para cancelar as condições de Dirichlet ou Neumann na superfície

$$\phi(\vec{r}) = \int_V \rho(\vec{r}')G(\vec{r}, \vec{r}')d^3x' + \frac{1}{4\pi} \int_S \left(G(\vec{r}, \vec{r}') \frac{\partial \phi(\vec{r}')}{\partial n'} - \phi(\vec{r}') \frac{\partial G(\vec{r}, \vec{r}')}{\partial n'} \right) ds'$$

Se usar condições de Dirichlet em S (sem I)

$$G_D(\vec{r}, \vec{r}') = 0 \quad \forall \vec{r}' \in S$$

Escolher f tal que $G_D = 0 \quad \forall \vec{r}' \in S$

Se usar condições de Neumann em S

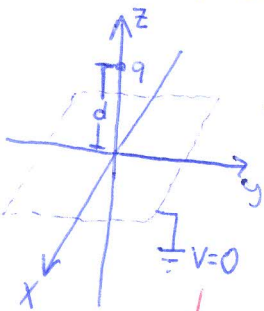
$$\text{Tentação: } \frac{\partial}{\partial n'} G_N(\vec{r}, \vec{r}') = 0 \quad \forall \vec{r}' \in S \text{ (não está correto, pois } \nabla_{\vec{r}'}^2 G(\vec{r}, \vec{r}') = \int -4\pi\delta^3(\vec{r} - \vec{r}') da$$

$$\text{Usar } \int_S \frac{\partial G}{\partial n'}(\vec{r}, \vec{r}') da = -\frac{4\pi}{\text{Área}} \quad \forall \vec{r}' \in S$$

$$\phi(\vec{r}) = \langle \phi \rangle_S + \int_V \rho G_N d^3x' + \frac{1}{4\pi} \int_S \frac{\partial \phi}{\partial n'} G_N ds$$

↗ valor médio do campo na superfície
↘
 $\frac{1}{S} \int_S \phi da$

→ Método das Cargas Imagens



Caso de Dirichlet

Qual é o potencial imediatamente acima do plano? Não pode ser simplesmente $\frac{q}{r}$, pois induziria carga na vizinhança do condutor. Ou seja, tanto a carga q quanto o plano influenciam o potencial.

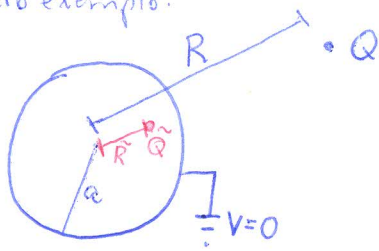
Para resolver o problema, admitimos que existe uma carga $-q$ em $(0, 0, -d)$ e que não há um plano condutor.

$$\text{Assim, temos } V = \frac{q}{\sqrt{x^2 + y^2 + (z-d)^2}} - \frac{q}{\sqrt{x^2 + y^2 + (z+d)^2}}$$

Segue que $V(x, y, 0) = 0$ e $V \rightarrow 0$ para $x^2 + y^2 + z^2 \gg d^2$, como se esperava para o caso original. Também é importante que continua havendo apenas uma carga em $z \geq 0$ (a região $z < 0$ mudou completamente, mas não é de interesse do problema)

Pelo Teorema da Unicidade, $V = \frac{q}{\sqrt{x^2 + y^2 + (z-d)^2}} - \frac{q}{\sqrt{x^2 + y^2 + (z+d)^2}}$ é a solução do problema original (ou seja, em $z \geq 0$)

Outro exemplo:



\tilde{R} é escolhido de modo que $\frac{\tilde{R}}{a} = \frac{a}{R}$ (inversão)

caso de Dirichlet

A escolha de \tilde{R} funciona porque a Ação de Maxwell tem simetria conforme (inversão é uma transformação conforme)

preserva ângulos

$$S = -\frac{1}{4} \int d^4x F_{\mu\nu} F^{\mu\nu}$$

Exemplo: simetria de escala

$$x^\mu \rightarrow \lambda x^\mu$$

$$d^4x \rightarrow \lambda^4 d^4x$$

$$F_{\mu\nu} = \partial_\mu A_\nu - \partial_\nu A_\mu \rightarrow \lambda^{-2} F_{\mu\nu}$$

$\partial_\mu \rightarrow \lambda^{-1} \partial_\mu$

$A_\nu \rightarrow A_\nu + \partial_\nu \Lambda \rightarrow$ não muda

$\hookrightarrow \lambda^{-1}$

\hookrightarrow tem que mudar em λ^{-1} por conformidade com a parcela seguinte

$$S = -\frac{1}{4} \int d^4x F_{\mu\nu} F^{\mu\nu} \rightarrow -\frac{1}{4} \int \lambda^4 d^4x \lambda^{-2} F_{\mu\nu} \lambda^{-2} F^{\mu\nu}$$

obs.: $\int d^Dx F_{\mu\nu} F^{\mu\nu} \rightarrow \int \lambda^D d^Dx \lambda^{-2} F_{\mu\nu} \lambda^{-2} F^{\mu\nu}$

Ou seja, a invariância de S só se dá em D=4.